

магнитного поля, как показано на рис. 4. Заметим, что магнитное поле, равное 300 Э, что много меньше, чем H_c гранулы, превышает типичный масштаб поля для флуктуаций кондактанса (несколько десятков эрстед, как видно из рис. 3). Такое поле, действительно может изменить интерференционную картину и привести к совершенно иному виду флуктуаций как для $H = 300$ Э, так и для $H = -300$ Э.

5. Заключение

В заключение следует отметить, что исследованы электрические транспортные свойства мезоскопических гранулированных сверхпроводников. Изучение этих малых структур позволяет сконцентрировать внимание на эффектах фазовых флуктуаций в гранулированных системах. Наблюдались отдельные стадии разрушения сверхпроводимости вследствие потери синхронизации фаз между гранулами, а также проявления интерференции сверхпроводящих волновых функций в неупорядоченной пленке.

Благодарности. Авторы выражают благодарность за плодотворные дискуссии С.И. Эпплбауму, Р.П. Барберу, А.В. Херцогу, М. Поллаку и П. Сенгу (P. Xiong). Работа выполнена при финансовой поддержке AFOSR, грант № f49620-92-j-0070.

Список литературы

1. Valles J M, Jr, Dynes R C, Garno J P *Phys. Rev. Lett.* **69** 3567 (1992)
2. Valles J M, Jr, Dynes R C *Mat. Res. Soc. Symp. Proc.* **195** 375 (1990) and references therein; White A E, Dynes R C, Garno J P *Phys. Rev. B* **33** 3549 (1986); Dynes R C et al. *Phys. Rev. Lett.* **53** 2437 (1984)
3. Herzog A V et al. *Phys. Rev. Lett.* **76** 668 (1996); Herzog A V, Xiong P, Dynes R C (to be published)
4. Washburn S, Webb S A *Adv. Physics* **35** 375 (1986); Al'tshuler B L, Lee P A *Physics Today* **36** (Dec. 1988); Webb R A, Washburn S *Physics Today* **4** (Dec. 1988)

Низкотемпературное сопротивление недодопированных купратов

А.Н. Лавров, В.Ф. Гантмахер

В высокотемпературных сверхпроводящих (ВТСП) купратах металлическое состояние можно получить в результате электронного или дырочного дипирования исходного антиферромагнитного диэлектрика. Природа этого превращения металл – диэлектрик не понята в полной мере, главным образом, из-за сильных электронных корреляций, которые кардинально усложняют картину нормального состояния [1, 2]. Очевидно, что электронные корреляции играют доминирующую роль в "недодопированных" исходных соединениях, переводя эти системы в диэлектрическое состояние. Когда дипирование возрастает и система значительно отклоняется от половинного заполнения, важность электронных корреляций уменьшается, и поведение купратов, как принято считать, приближается к ферми-жидкостному в так называемом "передодированном" диапазоне. Однако, несмотря на интенсивные исследования сильно коррелированных систем в последние 10 лет, до сих пор еще нет согласия по вопросу о том, что представляют собой купраты при промежуточном дипировании, когда в них

возникает ВТСП. Основной проблемой здесь является то, что пока мало известно о купратах в нормальном состоянии, так как сверхпроводимость маскирует свойства нормального состояния на существенной части фазовой диаграммы.

В недавних экспериментах Андо, Бобингера и др. [3, 4] с монокристаллами $\text{La}_{2-x}\text{Sr}_x\text{CuO}_4$, в которых для подавления сверхпроводимости использовались магнитные поля до 61 Тл, измерения сопротивления нормального состояния были продолжены в область низких температур для целого интервала концентраций дырок. Эти измерения выявили достаточно необычное поведение соответствующего нормального состояния. Для всех недодопированных составов ($x < 0,16$) изменение сопротивления как в плоскости (a, b), так и перпендикулярно плоскости (a, b) при низких температурах было интерпретировано как логарифмический рост независимо от того, повышается или понижается сопротивление при высоких температурах [3, 4]. Этот логарифмический рост сопротивления рассматривался как доказательство диэлектрического поведения, и предполагалось, что кроссовер диэлектрик – металл имеет место далеко в сверхпроводящей области, где-то вблизи оптимального дипирования. Если бы расходимость низкотемпературного сопротивления вида $\log T$ была неотъемлемым свойством ВТСП купратов, это указывало бы на общую особенность, связанную с сильными электронными корреляциями и означающую нефермижидкостное поведение электронной системы [5]. Однако аналогичные исследования, выполненные на кристаллах $\text{Bi}_2\text{Sr}_2\text{CuO}_y$ [6], показали, что ρ_{ab} при низкой T может быть как независящим от температуры, так и логарифмически расходящимся в зависимости от чистоты образца.

Возможно также, что необычное поведение сопротивления вида $\log T$, наблюдавшееся в работах [3, 4], может быть связано с воздействием именно сильного магнитного поля, а не со свойствами нормального состояния, лежащего в основе ВТСП. Сильные магнитные поля вполне могут вызывать локализацию носителей [7]. Более того, ВТСП купраты обладают сильно анизотропными электронными транспортными свойствами, тогда как влияние магнитного поля на двумерный 2D-сверхпроводник является весьма специфическим, что приводит к принципиально иному фазовому переходу в диэлектрическое бозе-состояние с локализованными электронными парами и индуцированными полем бозе-конденсированными вихрями [8, 9]. Таким образом, может оказаться, что при измерении сопротивления купратов в магнитном поле, экспериментатор столкнется с особыми свойствами Бозе-диэлектрика [9].

Можно надеяться прояснить ситуацию, измеряя сопротивление на границе сверхпроводящей области и сравнивая зависимости, полученные в магнитном поле, с поведением истинно нормального состояния. Более того, именно в сильно недодированной области могут ожидаться наиболее выраженные отклонения поведения купратов от поведения обычных материалов. Система $\text{RBa}_2\text{Cu}_3\text{O}_{6+x}$ ($\text{R} = \text{Y}$ или редкоземельный элемент) является привлекательным объектом для такого исследования, поскольку в ней можно легко варьировать дырочную концентрацию путем изменения содержания кислорода x или степени разупорядочения кислорода в цепочках (см. работы [10–12] и ссылки в них). Часть фазовой диаграммы $\text{RBa}_2\text{Cu}_3\text{O}_{6+x}$ в окрестности превра-

щения сверхпроводник–несверхпроводник (SC–NSC) представлена на рис. 1 как функция проводимости в плоскости σ_{ab} (280 К), которая, по-видимому, приблизительно пропорциональна плотности носителей в плоскостях CuO₂ (см. детали в работе [12]). На рисунке 1 разными кружками обозначены температуры антиферромагнитного и сверхпроводящего переходов T_N и T_c , измеренные в одном и том же кристалле с различным содержанием кислорода (каждая пара темный кружок – светлый кружок соответствует определенному значению x). Темными кружками показано "закаленное" состояние кристалла, кислородная подсистема которого разупорядочена с помощью быстрого охлаждения со 120–140 °C, светлыми — "состаренное" состояние, полученное путем выдерживания при комнатной температуре в течение 5 дней, а стрелками проиллюстрирована эволюция состояния кристалла с упорядочением кислорода. Видно, что очень простая процедура старения дает возможность изменять плотность носителей в плоскостях CuO₂ в пределах 20 % без изменения стехиометрии [10, 12]. Таким образом, если изменение содержания кислорода позволяет выполнять ступенчатое сканирование фазовой диаграммы, то явление перегруппировки кислорода добавляет к этому уникальную возможность непрерывно варьировать плотность дырок и целенаправленно и постепенно перестраивать свойства образца во всем интервале дырочных концентраций.

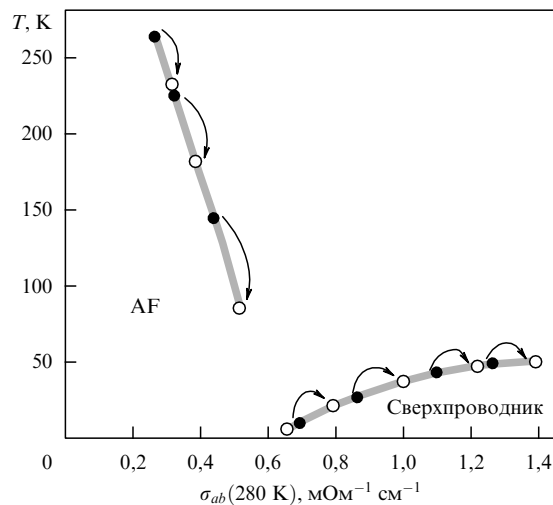


Рис. 1. Схема, иллюстрирующая фазовую диаграмму RBa₂Cu₃O_{6+x} как функцию проводимости в плоскости σ_{ab} (280 К) и влияние упорядочения кислорода на состояние образца. Темными кружками показаны T_N и T_c для образцов, закаленных в жидким азоте (разные кружки соответствуют различному содержанию кислорода x), светлыми кружками показаны температуры перехода, измеренные после старения при комнатной температуре.

Нами было приготовлено несколько кристаллов YBa₂Cu₃O_{6+x} с $x \approx 0,37$, т.е. вблизи границы сверхпроводящей области, и были измерены их сопротивление и магнитосопротивление в процессе постепенного прохождения через NSC–SC переход, которое осуществлялось посредством старения кристалла при комнатной температуре [13]. Температурная зависимость сопротивления в плоскости ρ_{ab} , полученная для "состаренного" и "закаленного" состояний одного из кристаллов YBa₂Cu₃O_{6+x}, представлена на рис. 2. Для обоих состояний при

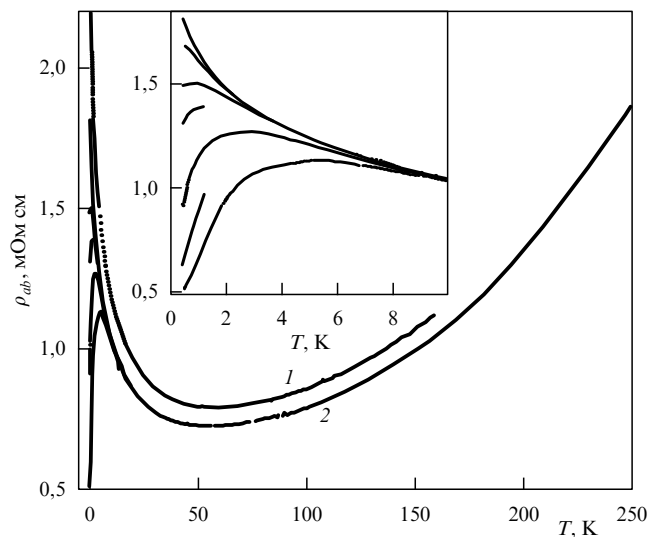


Рис. 2. Температурная зависимость сопротивления в плоскости ρ_{ab} , полученная для монокристалла YBa₂Cu₃O_{6+x} ($x \approx 0,37$) в "закаленном" (1) и "состаренном" (2) состояниях. Для "закаленного" состояния кривые, измеренные для магнитных полях $H = 0$ и $H = 7,7$ Тл, почти неразличимы на этом графике. Для "состаренного" состояния представлен ряд кривых, измеренных в различных магнитных полях $H \parallel c$: $H = 0,25; 0,5; 1; 2; 3; 5; 7,7$ Тл соответственно. На вставке показана область низких температур в увеличенном масштабе.

понижении температуры сопротивление проходит через минимум. В состоянии равновесия при комнатной температуре, в "состаренном" состоянии, рост сопротивления при низких температурах прерывается SC переходом, тогда как в "закаленном" состоянии на кривой $\rho(T)$ не наблюдалось никаких признаков сверхпроводящего перехода вплоть до самых низких температур. Отметим, что эти состояния кристалла отличаются только плотностью дырок в плоскостях CuO₂. Вследствие низкой T_c сверхпроводящий переход в "состаренном" кристалле может быть практически полностью подавлен имеющимся магнитным полем $H \parallel c$; вызванный магнитным полем переход SC–NSC проиллюстрирован на вставке.

Подъем сопротивления при низких температурах указывает на то, что NSC-состояние, возможно, соответствует диэлектрику. В самом деле, кристаллы YBa₂Cu₃O_{6+x} сильно анизотропны и, по-видимому, могут рассматриваться как стопка весьма слабо связанных проводящих плоскостей. Поэтому было бы не удивительно, если бы они вели себя как диэлектрик, поскольку, согласно скейлинговой теории перехода металл–диэлектрик [14], в 2D системах, сколь бы слабым ни был беспорядок, не существует истинного металлического поведения, и при нулевой температуре система должна стать диэлектриком. Нам, однако, не удалось аппроксимировать данные по $\rho_{ab}(T)$ для всех кристаллических состояний ни экспоненциальным ($\rho = \alpha \exp[(\beta/T)^k]$), ни степенным ($\rho = \alpha + (\beta/T)^k$) законами. В то же время, как видно из рис. 3, аппроксимация логарифмическим законом $\rho_{ab} = \alpha + \beta \log T$ является достаточно хорошей. Изменение сопротивления закаленного и промежуточного состояний тоже можно интерпретировать как логарифмический рост при уменьшении температуры T в диапазоне почти в два порядка. Можно было бы предположить, что состояние, которое достигается посредством закалывания, также представляет

собой диэлектрическое бозе-стекло, где электронные пары локализуются беспорядком [8, 9], однако очень малое магнетосопротивление (вставка на рис. 3) доказывает, что это не так и что вместо этого наблюдается сопротивление истинного нормального состояния. Основной полученный результат заключается в том, что очень похожее поведение сопротивления характерно как для несверхпроводящего состояния, так и для соответствующего нормального состояния в SC области. Логарифмический рост сопротивления в нулевом поле означает, что роль магнитного поля заключается только в том, что оно позволяет наблюдать исходное нормальное состояние. Можно видеть, что при возрастании магнитного поля кривые сопротивления для "закаленного" состояния шаг за шагом приближаются к сопротивлению нормального состояния. Это поведение скорее напоминает подавление сверхпроводимости верхним критическим полем в обычных 3D-системах, чем картину 2D-SC-I перехода (I — изолят), которая предлагалась для описания системы YBCO [9].

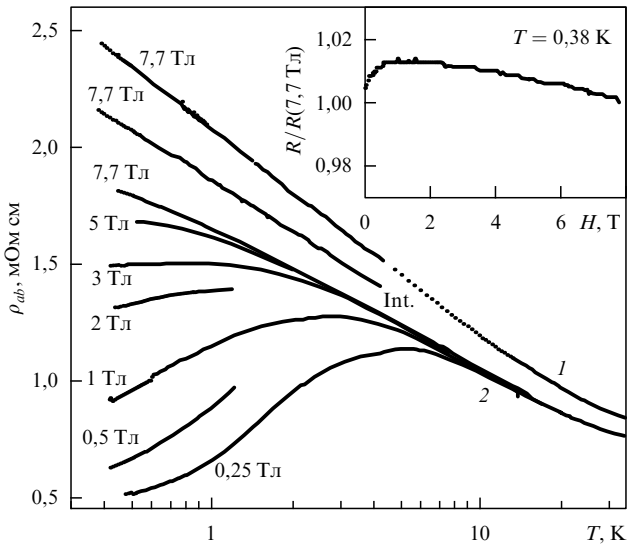


Рис. 3. Графики зависимости сопротивления от логарифма температуры для различных состояний образца. На графике указаны значения приложенного магнитного поля. На вставке представлена нормированная зависимость сопротивления от магнитного поля, полученная при $T = 0,38$ К для "закаленного" состояния.

Таким образом, логарифмическая зависимость сопротивления (если она действительно имеет место) оказывается достаточно общим свойством недодопированных купратов [13, 15], но его природа остается неясной. Удельное сопротивление на одну CuO_2 -плоскость имеет значения порядка универсального квантового сопротивления $h/4e^2$, что означает, что слабая 2D-локализация [14] и эффекты взаимодействия [16], по-видимому, имеют важное значение и могут давать логарифмическую поправку к проводимости при не очень низких температурах. Однако эта поправка должна быть мала, в то время, как при более низких температурах должен происходить кроссовер от логарифмического к экспоненциальному поведению. В случае кристаллов $\text{YBa}_2\text{Cu}_3\text{O}_{6+x}$ [13], а также $\text{La}_{2-x}\text{Sr}_x\text{CuO}_4$ [3, 4], вклад $\log T$, очевидно является доминирующим, а не

просто вносит некоторую поправку. Точно такое же поведение наблюдалось в работах [3, 4].

Один из наиболее важных вопросов: являются наблюдаемые подъемы сопротивления свойством, присущим чистой системе вследствие электронных корреляций, или они являются проявлением примесных эффектов? А в последнем случае — коррелирует ли исчезновение сверхпроводимости с сопротивлением нормального состояния, и происходит ли оно при некотором универсальном значении сопротивления? Сравнение данных, полученных для нескольких кристаллов YBCO, находящихся точно на границе сверхпроводящей области, показало, что низкотемпературная проводимость не равняется универсальному значению, а изменяется в довольно широком диапазоне, например, при $T = 1$ К $\sigma_{ab} = 500 - 2700 \text{ Ом}^{-1} \text{ см}^{-1}$, причем для более чистых кристаллов она выше. Сравним эти значения с более низкой проводимостью нормального состояния $\sigma_{ab}(1 \text{ K}) \approx 300 \text{ Ом}^{-1} \text{ см}^{-1}$ кристалла $\text{La}_{2-x}\text{Sr}_x\text{CuO}_4$ с $x \approx 0,08$, который еще является сверхпроводящим с T_c около 20 К [1]. Этот разброс значений указывает на решающую роль примесей и беспорядка в низкотемпературном сопротивлении и означает, что чистая система может быть металлической без какого-либо подъема сопротивления при $T \rightarrow 0$. Это предположение хорошо коррелирует с наблюдением как температурно-независящего, так и расходящегося сопротивления в кристаллах $\text{Bi}_2\text{Sr}_2\text{Cu}_3\text{O}_y$, имеющих, очевидно, тот же самый уровень додирования [6].

Отметим, что неуниверсальное сопротивление на границе SC–NSC противоречит картине 2D-SC–I перехода, который должен определяться значением сопротивления слоя и происходит при универсальном пороговом значении около $h/4e^2$. Действительно, не вполне ясно, до какой степени теория 2D-электронных систем применима к массивным, хотя и сильно анизотропным, кристаллам, и представляется вероятным, что роль межплоскостных взаимодействий в анизотропной системе будет возрастать по мере приближения к точке локализации. В этом случае рассмотрение купратов как анизотропных 3D-систем может оказаться более адекватным. Свидетельства в пользу анизотропного 3D-транспорта в недодопированных купратах были получены из сравнения сопротивления в плоскости и перпендикулярно плоскости в кристаллах $\text{La}_{2-x}\text{Sr}_x\text{CuO}_4$ [3, 4] и $\text{YBa}_2\text{Cu}_3\text{O}_{6+x}$ [13], температурные зависимости которых при низких T оказались, несмотря на очень сильную анизотропию, очень похожими.

Для 3D-систем в близкой окрестности перехода металл–диэлектрик следует ожидать, что проводимость описывается степенным законом [14, 17]: $\sigma = \alpha + \beta T^n$, $n = 1/2$ или $1/3$, где параметр σ_0 изменяет знак в точке перехода. Данные из рис. 3 в более привычном для 3D-систем виде (как σ от $T^{1/2}$) представлены на рис. 4. Из рисунка видно, что такое представление также является правдоподобным, хотя показатель n несколько меньше $1/2$. На вставке продемонстрировано, что $\sigma(T)$ может быть хорошо описана степенным законом без систематических отклонений в температурном диапазоне около двух порядков. Видно, что изменения плотности носителей, обусловленные перегруппировкой кислорода, приводят к параллельному сдвигу кривых в сторону более низких значений проводимости, т.е. в основном меняется значения параметра α . Отметим, что для всех состояний

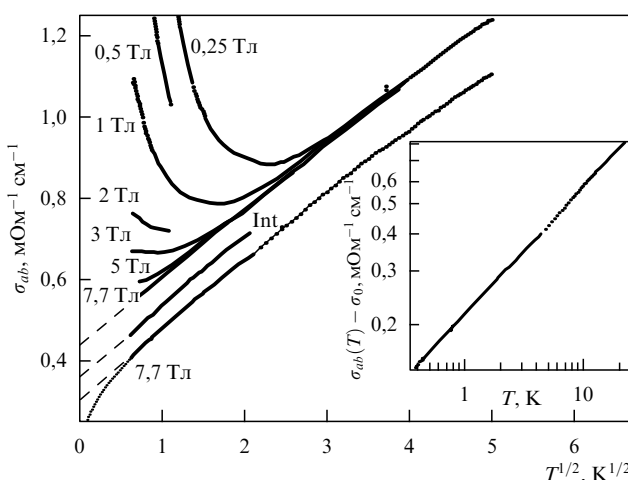


Рис. 4. Графики проводимости $\sigma_{ab} = 1/\rho_{ab}$ в зависимости от $T^{1/2}$. Пунктирной линией для сравнения показана наилучшая логарифмическая аппроксимация $\rho_{ab} = A + B \log T$ для "закаленного" состояния. Вставка: температурная зависимость проводимости в двойном логарифмическом масштабе.

образца линейные экстраполяции к нулевой температуре (штриховые линии на рис. 4) дают высокие уровни проводимости $300 - 400 \text{ Ом}^{-1} \text{ см}^{-1}$ (для другого несверхпроводящего кристалла α даже превышает $2000 \text{ Ом}^{-1} \text{ см}^{-1}$). Таким образом, если принять анизотропную 3D-модель, напрашивается вывод, что нормальное состояние YBCO является металлическим по обе стороны перехода SC – NSC.

В то время, как едва ли можно сделать обоснованный выбор между логарифмическим и степенным представлением на рис. 3 и 4, это становится возможным по мере дальнейшего смещения системы к диэлектрическому состоянию. Такой анализ, выполненный в работе [13] для ρ_c , показал, что проводимость продолжает следовать степенному закону с $\alpha \rightarrow 0$, но не соответствует более альтернативному логарифмическому представлению.

Следовательно, описание нормального состояния в $\text{YBa}_2\text{Cu}_3\text{O}_{6+x}$ как состояния 3D-системы вблизи перехода металл–диэлектрик представляется более предпочтительным, а проводимость в близкой окрестности перехода M – I можно описать скейлинговой температурной зависимостью. Предполагается, что нормальное состояние, лежащее в основе сверхпроводимости, является металлическим, а переход M – I расположен на фазовой диаграмме на некотором расстоянии от SC области. Очевидно, что дальнейшие исследования очень желательны, и тот факт, что, по-видимому, нормальное состояние точно то же самое по обе стороны фазовой границы SC – NSC, достойно особого внимания, поскольку оно позволяет исследовать проблему, не усложненную сверхпроводимостью.

А.Н. Лавров выражает глубокую благодарность за гостеприимство Институту физики твердого тела, где была, в основном, выполнена эта работа.

Список литературы

1. Dagotto E *Rev. Mod. Phys.* **66** 763 (1994)
2. Brenig W *Phys. Rep.* **251** 153 (1995)

3. Ando Y et al. *Phys. Rev. Lett.* **75** 4662 (1995)
4. Boebinger G S et al. *Phys. Rev. Lett.* **77** 5417 (1996)
5. Varma C M, preprint cond-mat/9703122
6. Ando Y et al. *Phys. Rev. Lett.* **77** 2065 (1996)
7. Malinowski A et al., preprint cond-mat/9705138
8. Fisher M P A *Phys. Rev. Lett.* **65** 923 (1990)
9. Seidler G T, Rosenbaum T F, Veal B W *Phys. Rev. B* **45** 10162 (1992)
10. Veal B W et al. *Phys. Rev. B* **42** 6305 (1990)
11. Lavrov A N, Kozeeva L P *Physica C* **248** 365 (1995)
12. Lavrov A N, Kozeeva L P *Physica C* **253** 313 (1995)
13. Гантмахер В Ф и др. *Письма в ЖЭТФ* **65** 834 (1997) [JETP Lett. **65** 870 (1997)]
14. Abrahams E et al. *Phys. Rev. Lett.* **42** 673 (1979)
15. Гантмахер В Ф и др. *Письма в ЖЭТФ* **65** 475 (1997) [JETP Lett. **65** 502 (1997)]
16. Altshuler B L et al. *Phys. Rev. Lett.* **44** 1288 (1980)
17. Imry Y *J. Appl. Phys.* **52** 1817 (1981)

Квантовые флюктуации и диссиpация в тонких сверхпроводящих проволоках

А.Д. Заикин, Д.С. Голубев,
А. ван Оттерло, Г.Т. Зимани

1. Введение

Хорошо известно, что флюктуации размыают дальний порядок в сверхпроводниках низкой размерности [1]. Означает ли это, что сопротивление таких сверхпроводников всегда остается конечным (или даже бесконечным), или оно может при определенных условиях снижаться до нуля? Имеется много информации о поведении двумерных (2D) сверхпроводящих пленок, физические свойства которых определяются главным образом фазовым переходом Костерлица – Таулеса – Березинского (КТБ) [2]. В квазиодномерных сверхпроводящих проволоках ниже критической температуры T_c , определяемой приближением среднего поля, причиной ненулевого сопротивления могут быть термически активированные проскальзывания фазы (ТАПФ) [3]. Этот эффект имеет практическое значение при температурах вблизи T_c , где теоретические предсказания были подтверждены экспериментально [4]. Однако при понижении температуры число ТАПФ экспоненциально уменьшается, и при T , не очень близких к T_c , теория не предсказывает конечного сопротивления [3]. Тем не менее в экспериментах Джордано [5] ясно показано, что при температурах существенно ниже T_c сопротивление сверхтонких сверхпроводящих проволок имеет конечное значение. Недавно в экспериментах других авторов [6] для тонких квазиодномерных проволок были обнаружены значительные отклонения от поведения, предсываемого в модели ТАПФ.

Естественно объяснить эти экспериментальные наблюдения влиянием квантовых флюктуаций, которые приводят к квантовым проскальзываниям фазы (КПФ) в 1D-сверхпроводящих проволоках. Однако оказалось, что первые оценки скорости туннелирования КПФ, полученные в рамках моделей на основе зависящей от времени теории Гинзбурга – Ландау (ВЗГЛ) [7, 8], дают значения, которые слишком малы для того, чтобы объяснить результаты экспериментов [5] (см. детали в работе [9]).

Авторы настоящей работы недавно [9] развили микроскопическую теорию, описывающую явление